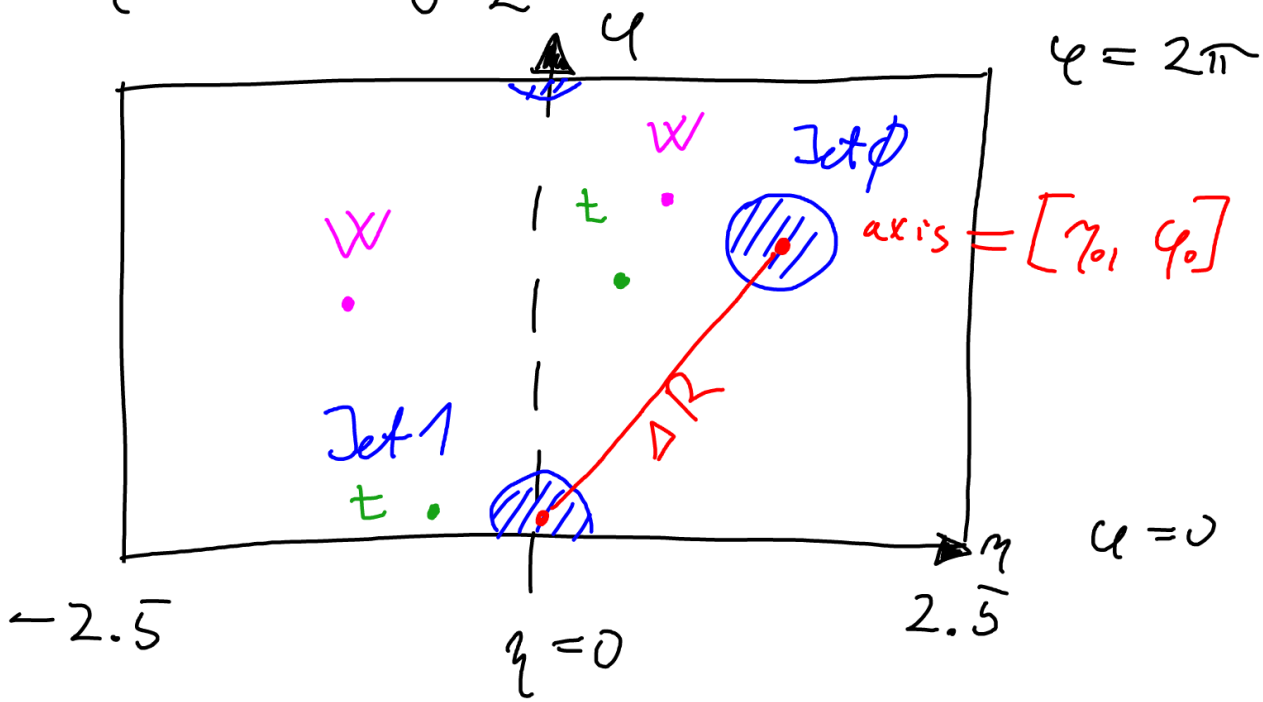


\vec{p} ... hybnost
 p_T ... p'irina hybnost $p_T = |\vec{p}| \sin\theta$

$\eta \equiv -\ln \tan \frac{\theta}{2}$ $\varphi \in (0, 2\pi)$, cykl.



Jet: p_T, η, φ M ... sm'er, hmatnost

$p_T = |\vec{p}| \sin\theta$ $M = \sqrt{E^2 - \vec{p}^2}$

$\Delta R_{ij} \equiv \left[(\eta_i - \eta_j)^2 + \Delta\varphi_{ij}^2 \right]^{1/2} \equiv \sqrt{\Delta\eta_{ij}^2 + \Delta\varphi_{ij}^2}$

... m'erka v $\eta \times \varphi$ prostoru.

Obd. def. $\Delta R_{jet1, t}$ atd.

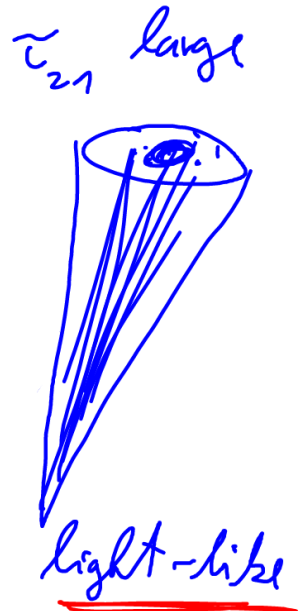
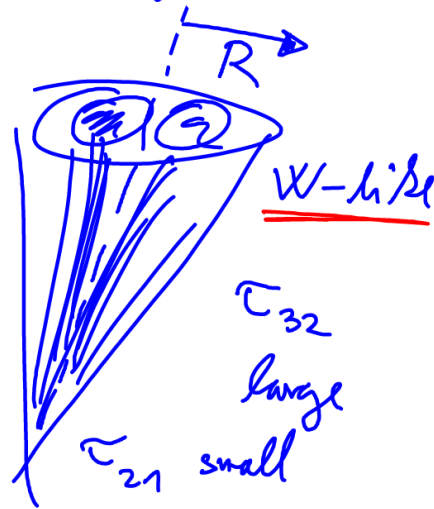
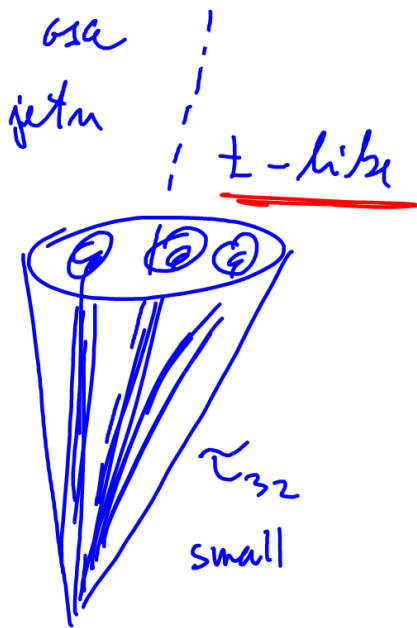
Jet: 4-velstan: \vec{p}, M
 \vec{p}, E
 $\lambda_T, \eta, \varphi, E$
 our choice: $\lambda_T, \eta, \varphi, M$

... suma 4-velstanu
 častice, které ho tvoří.

různé
 volby
 4 rezálov.
 proměnných

Datní vlastnosti: $\tau_{ij} \equiv \tau_i / \tau_j \quad i \neq j$
 $\tau_i \equiv i$ -subjektivness

... jak moc je to struktura
 konzistentní s tím, že
 obsahuje, i podjetno

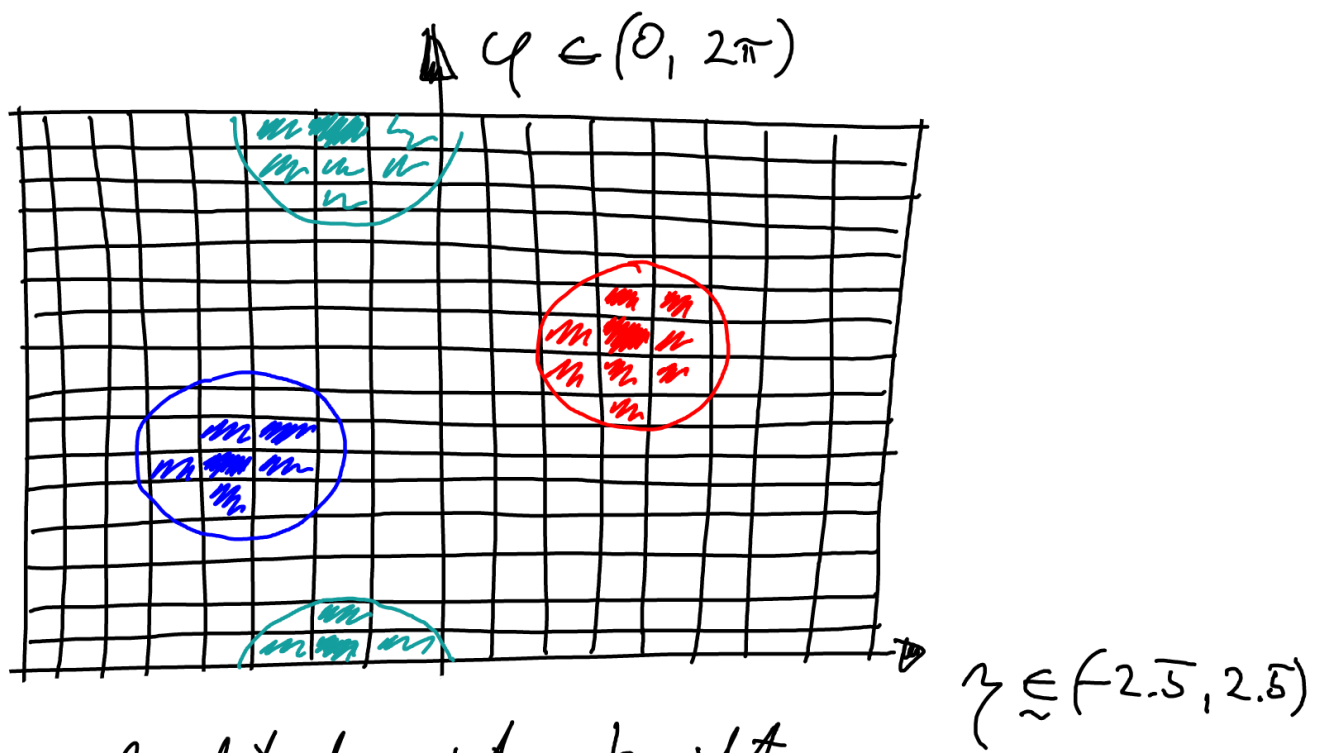


Jet:

na' paloměr $R \approx 1$ v $\eta \times \varphi$ rovině.

jetn

častice, které jej tvoří, \in Jet (jet axis, R)



... real detector jets built from energy deposits in finite-granulated detector.

Srážka protonů:

Zbývající protonů

